

^{168}Er 正字称低激发带的微观分析

黄海新 吴崇试 曾谨言
(北京 大学)

摘要

本文在 Bohr-Mottelson-Nilsson 模型框架下, 考虑对力十四极力的剩余相互作用, 进行微观计算, 可以较好地说明 ^{168}Er 正字称低激发谱及有关的 $E2$ 跃迁。IBM 理论遇到的一些困难, 在本文中不出现。

一、引言

近年来对大变形核 ^{168}Er 的低激发谱积累了大量实验资料^[1-5], 包括了 $E_x \lesssim 2 \text{ MeV}$, $I \leq 6$ 的所有能级, 它们分别构成二十几个转动带。这提供了一个理想的对象。用以检验和比较各种核结构模型。

Warner 等人^[6]用相互作用玻色子模型 (IBM, 只包含 s, d 玻色子) 详细分析了 ^{168}Er 的正字称带, 其主要结果有: 可以给出 $K^\pi = 0^+$ 的三个激发带和 $K^\pi = 2^+$ 的三个激发带; 一部分 $E2$ 跃迁的计算值与实验相近, 特别是可以定性解释实验上 0_2^+ 带 (“ β 带”) 的退激主要是衰变到 2_1^+ 带 (“ γ 带”) 的 $E2$ 跃迁, 而衰变到基带的 $E2$ 跃迁则较弱。但是 A. Bohr 等指出^[7], IBM 理论与实验有一系列矛盾。看来以下几点值得注意:

1. 计算所得 $K^\pi = 4_1^+$ 带位置过低(实验结果表现出很强的非简谐性), 而 $K^\pi = 2_3^+$ 带位置偏高。
2. 0_3^+ 带到基带的 $E2$ 跃迁的实验观测值比 IBM 的计算值要大两个数量级。
3. $K^\pi = 3^+$ 带在 sd -IBM 空间之外, 考虑 g 玻色子后^[8](此时参数相应增多), 可以得出 3^+ 带。
4. 为了得出众多的负字称带, 必须引入 f 玻色子。但根据 Burke 等人的实验结果及其分析^[4,5], 负字称带中如 4_1^- 带、 1_1^- 带等都具有较纯的二准粒子激发带的特征, 很难纳入 IBM 的模型空间。

本文试图在 Bohr-Mottelson-Nilsson 模型的框架下, 考虑粒子间的对关联及四极长程力作用, 采用微观方法分析 ^{168}Er 正字称低激发带的内部性质。

二、计算方法

在 Bohr-Mottelson-Nilsson 模型中, 描述内部运动的对力十四极力形式的哈密顿量

表为^[9]:

$$H_{\text{intr}} = H_{sp} + H_p + H_Q, \quad (1)$$

H_{sp} 是 Nilsson 单粒子哈密顿量^[10](其形变参数取自 Lund 系统学)^[11]。 H_p 为对力哈密顿量， H_Q 为四极力哈密顿量。

在 H_{sp} 对角化的表象中， H_{sp} 表为

$$H_{sp} = \sum_{\mu > 0} \varepsilon_\mu^p (a_\mu^+ a_\mu^- + a_{\bar{\mu}}^+ a_{\bar{\mu}}^-) + \sum_{\nu > 0} \varepsilon_\nu^n (b_\nu^+ b_\nu^- + b_{\bar{\nu}}^+ b_{\bar{\nu}}^-). \quad (2)$$

μ, ν 标记 Nilsson 单粒子态， $\bar{\mu}, \bar{\nu}$ 代表 μ, ν 的时间反演态， $\varepsilon_\mu^p, \varepsilon_\nu^n$ 分别是质子和中子的 Nilsson 能级(二重简并)。 $a^+(a)$ 和 $b^+(b)$ 分别是质子和中子的产生(湮灭)算符。

对力哈密顿量 H_p 表为

$$H_p = -G_p \sum_{\mu, \mu' > 0} a_\mu^+ a_{\bar{\mu}}^+ a_{\bar{\mu}'} a_{\mu'}^- - G_n \sum_{\nu, \nu' > 0} b_\nu^+ b_{\bar{\nu}}^+ b_{\bar{\nu}'} b_{\nu'}^- \quad (3)$$

G_p 和 G_n 分别是质子和中子的平均对力强度。

四极力哈密顿量 H_Q 表为

$$\begin{aligned} H_Q = & -\frac{1}{2} \sum_{\mu=0,2} \chi^{(\mu)} (:Q_{2\mu}^+(p)Q_{2\mu}(p): + :Q_{2\mu}^-(n)Q_{2\mu}(n): \\ & + 2:Q_{2\mu}^+(p)Q_{2\mu}(n):), \end{aligned} \quad (4)$$

其中 $\chi^{(\mu)}$ 是四极力强度参数，质子四极力算符表为

$$\begin{aligned} Q_{20}^+(p) = Q_{20}(p) &= \sum_{\nu, \nu'} \left\langle \nu \left| r^2 Y_{20} \right| \nu' \right\rangle_p a_\nu^+ a_{\nu'}, \\ Q_{22}^+(p) = Q_{22}(p) &= \sum_{\nu, \nu'} \left\langle \nu \left| \frac{r^2}{\sqrt{2}} (Y_{22} + Y_{2-2}) \right| \nu' \right\rangle_p a_\nu^+ a_{\nu'} \end{aligned} \quad (5)$$

中子四极力算符 $Q_{2\mu}^+(n)$, $Q_{2\mu}(n)$ 可类似写出。

为获取各低激发带内部性质的可靠信息，我们在保证粒子数守恒的一个足够大的组态空间中把 H_{intr} 对角化(以下简称 PNC 方法)^{[12]*}，其本质是属于一种壳模型计算，但与普通壳模型计算不同，它采用组态能量截断而不是单粒子能级截断。从理论上讲，由于所处理的是一个多粒子体系，其哈密顿量对角化采用多粒子组态能量截断是自然的。从实际计算来看，采用单粒子能级截断，一方面把为数极多但很不重要的组态成分包括在计算内，使计算变得非常繁琐，而另一方面又可能遗漏掉一些重要的组态成分^[13]。由于我们只对基带和低激发带性质感兴趣，PNC 计算所需考虑的组态空间并不很大。计算表明，在基带和低激发带中，重要的组态(例如成分 $\geq 1\%$)并不很多，而且这些重要组态的能量并不太高。在组态空间不太大的情况下，PNC 方法是求解体系低激发态的足够精确解的一个实际可行的方法。文[12]中只考虑了对力，本文将此方法推广到处理四极长程力。

* 本文所用方法是文献[12]的推广，在该文中未计及四极长程力。国际上流行的处理 H_{intr} 本征谱的方法是：先用 BCS 方法处理对关联(独立准粒子近似)，然后在准粒子态空间中把 H_Q 对角化。鉴于准粒子激发谱中有较多的假态，而且堵塞效应也很难处理，因此得出的结果的可靠程度不大清楚。本文采用粒子数守恒处理和组态能量截断概念，这些缺点可以避免，但计算工作量较大。

在 PNC 处理中,每一个组态是质子组态和中子组态的乘积。下面以一种粒子为例,写出其各种组态的表述形式。

在只考虑对力的情况下, seniority v 是一个好量子数。但引入四极长程力以后, 完全配对组态 ($v = 0$) 与有粒子拆散的组态 ($v \neq 0$) 之间将发生耦合。不同的拆散粒子组态之间也可能发生耦合。

1. $K \neq 0$ 组态可表为

$$|K \neq 0, \alpha\rangle = \sum_{\mu, v} \sum_{\rho_1 \rho_2 \cdots \rho_{n-1}} v_{\rho_1 \rho_2 \cdots \rho_{n-1}}^{\alpha(\mu, v)} |\mu v \rho_1 \bar{\rho}_1 \rho_2 \bar{\rho}_2 \cdots \rho_{n-1} \bar{\rho}_{n-1}\rangle + \cdots, \quad (6)$$

$$\mathcal{Q}_\mu + \mathcal{Q}_v = K, \pi_\mu \pi_v = \pi$$

对应能量记为 $E_{K\alpha}$ 。+…表示有多对粒子拆散的组态,可以类似写出。

2. $K = 0$ 组态,情况要复杂一些,可表为

$$|K = 0, \alpha\rangle = \sum_{\rho_1 \rho_2 \cdots \rho_n} v_{\rho_1 \rho_2 \cdots \rho_n}^{\alpha} |\rho_1 \bar{\rho}_1 \rho_2 \bar{\rho}_2 \cdots \rho_n \bar{\rho}_n\rangle$$

$$+ \sum_{\mu, v} \sum_{\rho_1 \rho_2 \cdots \rho_{n-1}} v_{\rho_1 \rho_2 \cdots \rho_{n-1}}^{\alpha(\mu, v)} |\mu v \rho_1 \bar{\rho}_1 \rho_2 \bar{\rho}_2 \cdots \rho_{n-1} \bar{\rho}_{n-1}\rangle + \cdots \quad (7)$$

$$\mathcal{Q}_\mu + \mathcal{Q}_v = 0, \pi_\mu \pi_v = \pi$$

$$\alpha = 0 \text{ (基态), } 1, 2, 3, \dots \text{ (激发态).}$$

对应能量记为 $E_{0\alpha}$ 。

众所周知,与能量本征值相比,电磁跃迁几率更敏感地依赖于波函数。通过电磁跃迁几率的比较,可以更灵敏地检验模型的可靠性。在本文中主要分析实验数据较多的 $E2$ 跃迁。用 i, f 分别表示初、末态, $E2$ 跃迁几率为^[14]

$$B(E2; I_i K_i \rightarrow I_f K_f) = |\langle I_i K_i | 2K_f - K_i | I_f K_f \rangle|^2 \cdot |\langle K_f \alpha_f | M'(2, K_f - K_i) | K_i \alpha_i \rangle|^2 \cdot (1 + \delta_{K_i K_f, 0}) \quad (8)$$

其中 $|K_f \alpha_f\rangle$ 、 $|K_i \alpha_i\rangle$ 的具体表达式见(6)、(7)式,

$$M'(2, \mu) = \sum_{\nu, \nu'} e_{\text{eff}}^p \left\langle \nu | r^2 Y_{2\mu} | \nu' \right\rangle_p a_\nu^+ a_{\nu'}^-$$

$$+ \sum_{\lambda, \lambda'} e_{\text{eff}}^n \left\langle \lambda | r^2 Y_{2\mu} | \lambda' \right\rangle_n b_\lambda^+ b_{\lambda'}^- \quad (9)$$

是电四极跃迁算符在转动坐标系中的表示, e_{eff}^p 和 e_{eff}^n 分别是质子和中子的有效电荷^[15]。

三、计算结果和讨论

1. 参数的选取

如前所述, Nilsson 能级参数取自 Lund 系统学^[11],未作更动。对于 ^{168}Er ,它们是:

表 1(a)

4 极形变 ϵ_2	16 极形变 ϵ_4	μ		κ	
		中子	质子	中子	质子
0.272	0.022	0.4167	0.602	0.0631	0.0630

本文计算中组态截断能量取为 $E_c = 0.6\hbar\omega_{00}$, $\hbar\omega_{00} := 41A^{-1/3}\text{MeV} = 7.43\text{MeV}$. 此时基带和低激发带的各重要组态成分已包含在内. 对力强度参数 G_p 和 G_n 可根据奇偶质量差的实验值定出^[12]. 奇偶质量差实验值取自 1985 年质量表^[16]. 但具体计算表明, 如选用的 G 比此略小一些 ($\sim 10\%$), 计算结果与实验的符合程度反而有改进. 这种情况在用 BCS 方法处理稀土核时也遇到过, 即把能隙参数 Δ 乘以一个衰减因子 (~ 0.8)^[17], 才更符合实验. 在本文所取组态截断能量之下, 所用对力强度为

$$G_p/\hbar\omega_{00} = 0.0414; G_n/\hbar\omega_{00} = 0.0343. \quad (10)$$

四极力强度参数为

$$\chi^{(0)} = 0.008 \left(\frac{M\omega_0}{\hbar} \right)^2 \hbar\omega_{00}; \quad \chi^{(2)} = 0.08 \left(\frac{M\omega_0}{\hbar} \right)^2 \hbar\omega_{00}, \quad (11)$$

其中

$$\omega_0 = \omega_{00} \left[\left(1 + \frac{2}{3} \varepsilon_2 \right)^2 \left(1 - \frac{4}{3} \varepsilon_2 \right) \right]^{-1/3}. \quad (12)$$

有效电荷 $e_{\text{eff}}^p, e_{\text{eff}}^n$ 根据 ^{168}Er 的 $B(E2; 2, 0_1^+ \rightarrow 0, 0_1^+)$ 和 $B(E2; 2, 2_1^+ \rightarrow 2, 0_1^+)$ 的实验值^[18] 来确定:

$$e_{\text{eff}}^p = 1.65e; \quad e_{\text{eff}}^n = 1.58e. \quad (13)$$

在取定上述各参数之后, 即可求出低激发态波函数和能谱, 从而求出 $E2$ 跃迁几率. 有关的计算结果见图 1—4 及表 1(b)—6.

表 1(b) 0_2^+ 带几个重要的 $B(E2)$ 分支比*

跃迁比	Exp	IBM	本文结果
$0_2^+ \rightarrow 2_1^+$ $0_2^+ \rightarrow 2_1^+$	≥ 0.196	0.055	0.195
$4_2^+ \rightarrow 2_1^+$ $4_2^+ \rightarrow 2_1^+$	0.0002	0.0009	0.00028
$2_2^+ \rightarrow 0_1^+$ $2_2^+ \rightarrow 3_1^+$	0.047	0.020	0.110

* 除 0_2^+ 带外, 本表及以下各表中实验数据和 IBM 计算结果都取自文献 [6].

表 2 0_3^+ 带几个重要的 $B(E2)$ 分支比

跃迁比	Exp	IBM	本文结果
$0_3^+ \rightarrow 2_1^+$ $0_3^+ \rightarrow 2_1^+$	< 1.8	232.5	1.23
$4_3^+ \rightarrow 2_1^+$ $4_3^+ \rightarrow 2_3^+$	0.0008	0.0004	0.0002
$6_3^+ \rightarrow 6_1^+$ $6_3^+ \rightarrow 4_3^+$	0.0048	0.00006	0.0036

表3 ^{168}Er 0_2^+ 带 $B(E2)$ 计算值与实验值比较

跃迁		相对 $B(E2; I_i \rightarrow I_f)$		
I_i^x	I_f^x, K	Exp	IBM	本文结果
0 ⁺	2 ^{+,0}	≡5.5 ¹⁾	5.5	5.5
	2 ^{+,2}	<28.0	100.0	28.2
2 ⁺	0 ^{+,0}	0.23	0.10	0.54
	4 ^{+,0}	1.4	0.32	1.0
	2 ^{+,2}	4.0	2.6	2.8
	3 ^{+,2}	≡4.9	4.9	4.9
	0 ^{+,0'} ²⁾		100.0	1350.0
	2 ^{+,0}	0.02	0.09	0.028
	6 ^{+,0}	0.11	0.23	0.04
4 ⁺	2 ^{+,2}	0.03	0.04	0.004
	3 ^{+,2}	0.35	0.63	0.06
	4 ^{+,2}	0.52	2.2	0.17
	5 ^{+,2}	0.19	2.8	0.19
	2 ^{+,0'}	100.0	100.0	100.0
	4 ^{+,0}	0.02	0.07	0.028
	8 ^{+,0}	0.07	0.21	0.033
	4 ^{+,2}	0.11	0.09	0.01
	5 ^{+,2}	0.32	0.73	0.07
	6 ^{+,2}	0.93	2.0	0.17
6 ⁺	4 ^{+,0'}	100.0	100.0	100.0

1) ≡表示由于没有准确带内跃迁实验值,采用此值归一化。下同。

2) 0' 代表 0_2^+ 带。

2. 能谱的分析

如图1—3所示,本文计算所得 $K^* = 0^+, 2^+, 3^+$ 各低激发带的位置,与实验相比,比 IBM 计算结果有明显改进。

(a) $K^* = 0^+$ 带。实验上已观测到三个 0^+ 激发带。本文计算得到的三个最低的 0^+ 激发带的位置与它们邻近。各 0^+ 带的组态成分见图1说明。

(b) $K^* = 2^+$ 带。除了最低的 $K^* = 2^+$ 带(“ γ 带”)以外,实验上还观测到另外四个 $K^* = 2^+$ 低激发带,位置都在 $E \sim 2\text{MeV}$ 附近。本文计算出的低激发 $K^* = 2^+$ 带谱型与此十分相近。其中能量最低的 2_1^+ 带(“ γ 带”)集体性很强; 2_2^+ 带属于四粒子拆散带(四准粒子激发带); 2_3^+ 带属于较纯的二粒子拆散带(二准粒子激发带); 2_4^+ 带和 2_5^+ 带则不是较纯的二粒子拆散带。在 IBM 计算中,所得 2_3^+ 带位置偏高,本文结果与之相比有明显改进。

(c) $K^* = 3^+$ 带。本文计算所得最低的两个 3^+ 带位置与实验上观测到的两个 3^+ 带很接近,它们都属于较纯的二粒子拆散带,集体性很差。在 IBM 计算中,只有把 g 玻色子考虑进去才可能出现 3^+ 带。Arima 等^[8]与吴华川,周孝谦^[22]采用 sdg -IBM 计算了 ^{168}Er 的低激发能谱,得到了与实验符合的 3_1^+ ,但同时也出现了实验上尚未观测到的其它低激发带。

表 4 ^{168}Er 0_3^+ 带 $B(E2)$ 计算值与实验值比较

跃 迁		相对 $B(E2; I_i \rightarrow I_f)$		
I_i^{π}	I_f^{π}, K	Exp	IBM	本文结果
0 ⁺	2 ^{+,0}	≈0.43	0.43	0.43
	2 ^{+,2}	<0.8	100.0	0.53
	2 ^{+,0'}	<59.0	0.46	0.013
	0 ^{+,0}	0.09	0.006	1.5
	4 ^{+,0}	1.0	0.02	3.8
	2 ^{+,2}	1.4	2.3	1.8
	3 ^{+,2}	2.0	4.3	4.6
	4 ^{+,2}	≈2.0	2.0	2.0
	0 ^{+,0'}	<7.0	0.004	0.04
	2 ^{+,0'}	<7.0	0.01	0.06
2 ⁺	4 ^{+,0'}	<3000.0	0.03	0.10
	0 ^{+,0''}	<4000.0	100.0	336.6
	2 ^{+,0}	0.01	0.005	0.49
	6 ^{+,0}	0.34	0.01	0.78
	2 ^{+,2}	0.08	0.04	0.02
	3 ^{+,2}	0.08	0.58	0.24
	5 ^{+,2}	0.48	2.4	0.83
	6 ^{+,2}	<0.4	1.1	0.3
	2 ^{+,0'}	<4.0	0.002	0.015
	4 ^{+,0'}	<3.0	0.01	0.014
4 ⁺	2 ^{+,0''}	100.0	100.0	100.0
	4 ^{+,0}	0.05	0.004	0.45
	6 ^{+,0}	0.48	0.006	0.36
	8 ^{+,0}	0.32	0.01	0.61
	5 ^{+,2}	<0.3	0.69	0.27
	6 ^{+,2}	<40.0	1.7	0.64
	7 ^{+,2}	<0.6	2.0	0.60
	8 ^{+,2}	<6.0	0.90	0.20
	4 ^{+,0'}	<0.6	0.001	0.014
	6 ^{+,0'}	<6.0	0.03	0.011
6 ⁺	4 ^{+,0''}	100.0	100.0	100.0

(d) $K^{\pi} = 4^+$ 带。本文结果和 IBM 计算结果相似，得到的 4^+_1 带位置都比实验偏低。其原因是多方面的。如果仔细研究一下 4^+_1 带的组态结构，就会发现它主要是质子对拆散态 $p\left\{[523]\frac{7}{2}^- + [541]\frac{1}{2}^-\right\}$ 。其位置对于单粒子能级的选取很敏感。特别是 $p[541]\frac{1}{2}^-$ 单粒子态下 Y_{20} 的对角矩阵元很大，即受到四极力的影响极强。因此四极力强度或单粒子态有小的改变，都会影响到这一激发带的位置。众所周知，现有 Nilsson 能级 (Lund 系统学)对于描述稀土变形核的中子单粒子能级是较好的，而对于描述质子单粒子能级则较差。如果采用更符合实际情况的单粒子波函数 (如 Woods-Saxon 势的波

表5 ^{168}Er 0_1^+ 带 $B(E2)$ 计算值与实验值比较*

跃迁		相对 $B(E2; I_i \rightarrow I_f)$	
I_i^{π}	I_f^{π}, K	Exp	本文结果
2 ⁺	2 ^{+,2}	18.0	8.0
	3 ^{+,2}	54.0	20.0
	0 ^{+,0'}	100.0	100.0
4 ⁺	3 ^{+,2}	37.0	32.0
	4 ^{+,2}	100.0	100.0
6 ⁺	6 ^{+,2}	105.0	20.0
	7 ^{+,2}	100.0	100.0

* 本表实验数据取自文献 [3].

表6 ^{168}Er 2_1^+ 带 $B(E2)$ 计算值与实验值比较

跃迁		相对 $B(E2; I_i \rightarrow I_f)$		
I_i^{π}	I_f^{π}, K	Exp	IBM	本文结果
2 ⁺	0 ^{+,0}	54.0	66.0	70.0
	2 ^{+,0}	100.0	100.0	100.0
	4 ^{+,0}	6.8	6.0	5.0
3 ⁺	2 ^{+,0}	2.6	2.7	4.5
	4 ^{+,0}	1.7	1.3	1.8
	2 ^{+,2}	100.0	100.0	100.0
4 ⁺	2 ^{+,0}	1.6	2.5	4.5
	4 ^{+,0}	8.1	8.3	13.4
	6 ^{+,0}	1.1	1.0	1.1
5 ⁺	2 ^{+,2}	100.0	100.0	100.0
	4 ^{+,0}	2.9	4.3	7.5
	6 ^{+,0}	3.6	3.1	4.3
6 ⁺	3 ^{+,2}	100.0	100.0	100.0
	4 ^{+,2}	122.0	98.0	100.0
	4 ^{+,0}	0.44	0.97	1.8
7 ⁺	6 ^{+,0}	3.8	4.3	7.0
	8 ^{+,0}	1.4	0.73	0.75
	4 ^{+,2}	100.0	100.0	100.0
8 ⁺	5 ^{+,2}	69.0	59.0	60.0
	6 ^{+,0}	0.74	2.7	5.2
	5 ^{+,2}	100.0	100.0	100.0
	6 ^{+,2}	59.0	39.0	93.0
	6 ^{+,0}	1.8	0.67	1.4
	7 ^{+,0}	5.1	3.5	5.9
	6 ^{+,2}	100.0	100.0	100.0
	7 ^{+,2}	135.0	29.0	36.0

函数), 可能会有所改进. 此外, $K^{\pi} = 4_1^+$ 带主要成分为 $p \left\{ [523\uparrow] \frac{7}{2}^- + [541\downarrow] \frac{1}{2}^- \right\}$,

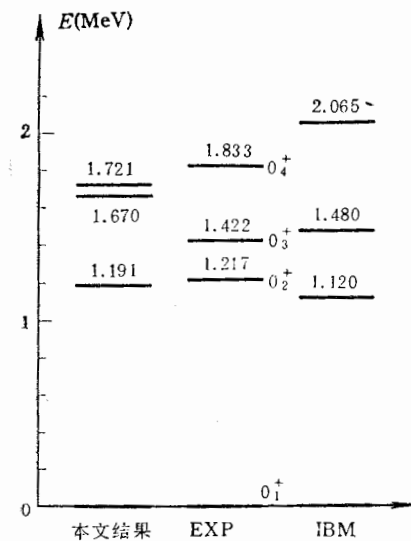


图1 ^{168}Er $K^* = 0^+$ 带带头位置. 本图及以下各图中实验数据和 IBM 计算值分别取自文献[2]和[7]. 为方便起见, 用 $|0\rangle$ 表示基组态, $|633\uparrow \rightarrow 521\downarrow\rangle$ 表示基组态中有一对粒子从 $633\uparrow$ 态激发到 $521\downarrow$ 态的组态, 余类推. 本文计算得到的 $K^* = 0^+$ 带主要组态成分为

	$ 0\rangle$	$n 633\uparrow \rightarrow 521\downarrow\rangle$	$n 505\uparrow \rightarrow 521\downarrow\rangle$	$p 523\uparrow \rightarrow 541\downarrow\rangle$
0_1^+	0.61	0.09	0.07	0.05
0_2^+	0.11	0.26	0.31	0.22
0_3^+	0.14			0.58
0_4^+		0.47	0.30	0.07

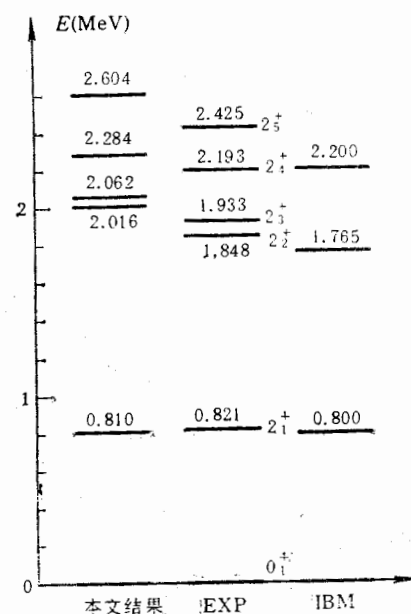


图2 ^{168}Er $K^* = 2^+$ 带带头位置. 本文计算得到的 $K^* = 2^+$ 带的主要成分

	$n(521\uparrow + 521\downarrow)$	$n(523\downarrow - 521\downarrow)$	$p(413\downarrow - 411\downarrow)$	$p(411\uparrow + 411\downarrow)$	$n(505\uparrow + 521\downarrow)$ $p(523\uparrow + 541\downarrow)$
2_1^+	0.12	0.33	0.17	0.33	
2_2^+					1.0
2_3^+		0.92			
2_4^+		0.32	0.12	0.48	
2_5^+	0.32	0.27	0.24	0.10	

而 $K^* = 3_1^+$ 带主要成分为 $p\left\{[523\uparrow]\frac{7}{2}^- - [541\downarrow]\frac{1}{2}^-\right\}$. 如不考虑其它剩余相互作用, 两带位置相同. 但如果计及自旋-自旋相互作用, 按照 Gallagher 规则^[19], 4_1^+ 带会上升, 因而计算结果会更接近于实际能级位置.

3. E 2 跃迁几率

$B(E2)$ 分支比计算结果及其与实验的比较见表 1—6. 本文着重讨论几个 $K^* = 0^+$ 激发带的跃迁.

(a) 0_2^+ 带 (“ β 带”) 的 $E2$ 跃迁. 几个重要结果见表 1, 详细结果见表 3. 实验上 0_2^+ 带的退激主要是衰变到 2_1^+ 带 (“ γ 带”) 的 $E2$ 跃迁, 而衰变到基带的 $E2$ 跃迁则较弱. 这一实验现象, 在本文计算中与在 IBM 计算中一样, 都得到了较好的说明. 在本文计算中, 这主要是由 0_2^+ 带和 2_1^+ 带的内部结构决定的. 上述实验现象在 ^{158}Gd 和 ^{172}Yb 的实验观测中也得到肯定^[20,21], 可以认为是稀土区大变形偶偶核中较普遍的现象. 本文结果表明, 对十四极力模型的微观理论, 可以对这一实验现象给予较好的说明.

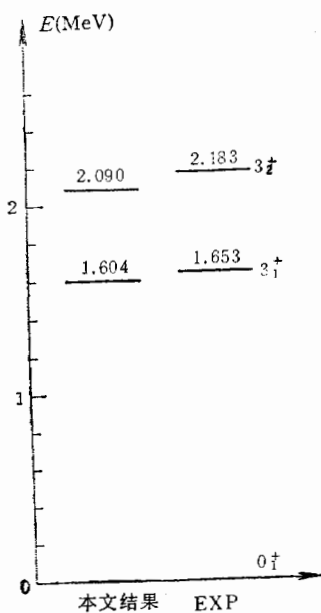


图3 ^{168}Er $K^* = 3^+$ 带带头位置。本文计算得到的 $K^* = 3^+$ 带的主要成分: 3_1^+ 带: $p(523\uparrow - 541\downarrow) 1.00$; 3_2^+ 带: $n(523\downarrow + 521\downarrow) 0.98$.

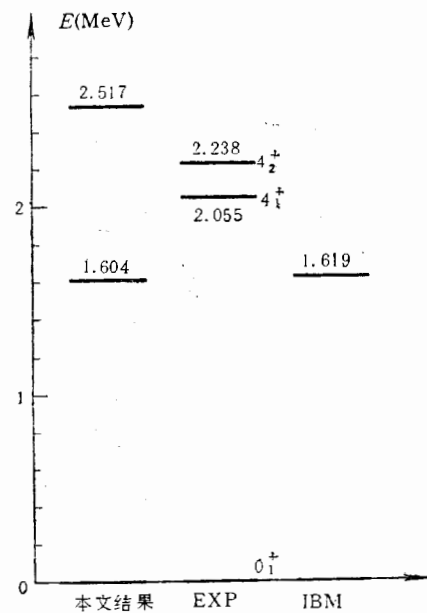


图4 ^{168}Er $K^* = 4^+$ 带带头位置。本文计算得到的 $K^* = 4^+$ 带的主要成分: 4_1^+ 带: $p(523\uparrow + 541\downarrow) 1.0$; 4_2^+ 带: $n(505\uparrow + 521\downarrow)p(411\downarrow - 413\downarrow) 0.57$; $n(505\uparrow - 521\uparrow) 0.38$.

(b) 0_3^+ 带的 $E2$ 跃迁。几个重要结果见表 2. 0_3^+ 带 $B(E2)$ 值的实验测量不如 0_2^+ 带那么精确, 但 0_3^+ 带到基带的 $E2$ 跃迁测量结果还比较精确。本文计算所得这一跃迁的 $B(E2)$ 值与实验是同一量级, 而 IBM 计算值比实验小两个量级。

(c) 0_4^+ 带的 $E2$ 跃迁。 0_4^+ 带的跃迁实验数据取自文献 [3]。本文结果与实验符合较好, 详见表 5. IBM 计算结果尚未在文献中见到。

四、结 论

本文在 Bohr-Mottelson-Nilsson 模型的框架下, 采用对力+四极力形式的哈密顿量进行微观计算, 计算中为了获取各低激发带内部态的可靠信息, 采用粒子数守恒方法, 在此法中, 堵塞效应已严格考虑在内。计算表明, 大变形核 ^{168}Er 的低激发带及其有关的 $E2$ 跃迁性质, 可以得到较好的说明。

本文是作者之一黄海新的硕士毕业论文。他对张锡珍老师和程檀生老师在答辩时提出的宝贵意见表示感谢。

参 考 文 献

- [1] W. F. Davidson, D. D. Warner, R. F. Casten, et al., J. Phys., G7 (1981), 455; G7(1981), 843.
- [2] W. F. Davidson, W. R. Dixon and R. S. Stony, Can. J. Phys., 62(1984), 1538.
- [3] W. F. Davidson, W. R. Dixon, D. G. Burke and J. A. Cizewski, Phys. Lett., 130B(1983), 160.
- [4] D. G. Burke, B. L. W. Maddock and W. F. Davidson, Nucl. Phys., A442(1985), 424.

- [5] D. G. Burke, W. F. Davidson, J. A. Cizewski, R. E. Brown and J. W. Sunier, *Nucl. Phys.*, **A445**(1985), 70.
- [6] D. D. Warner, R. F. Casten and W. F. Davidson, *Phys. Rev.*, **C24**(1981), 1713.
- [7] A. Bohr and B. R. Mottelson, *Phys. Scr.*, **25**(1982), 28.
- [8] N. Yoshinaga, Y. Akiyama and A. Arima, *Phys. Rev. Lett.*, **56**(1986), 1116.
- [9] D. R. Bes and R. A. Sorensen, *Adv. Nucl. Phys.*, **2**(1969), 129.
- [10] S. G. Nilsson, et al., *Nucl. Phys.*, **A131**(1969), 1.
- [11] R. Bengtsson, *J. de Phys.*, **41**(1980), C10—84.
- [12] J. Y. Zeng and T. S. Cheng, *Nucl. Phys.*, **A405**(1983), 1.
- [13] J. Y. Zeng, T. S. Cheng, L. Cheng and C. S. Wu, *Nucl. Phys.*, **A421**(1984), 125c.
- [14] A. Bohr and B. R. Mottelson, *Nuclear Structure*, Vol. II.
- [15] R. D. Lawson, *Theory of the Nuclear Shell Model*.
- [16] A. H. Wapstra and G. Audi, *Nucl. Phys.*, **A432**(1985), 40.
- [17] S. G. Nilsson and O. Prior, *Mat. Fys. Medd. Dan. Vid. Selsk.* **32**(1961), No. 16.
- [18] L. M. Greenwood, *Nucl. Data Sheets*, **11**(1974), 385.
- [19] C. J. Gallagher, Jr., *Phys. Rev.*, **126**(1962), 1525.
- [20] R. C. Greenwood, et al., *Nucl. Phys.*, **A304**(1978), 327.
- [21] C. W. Reich, R. C. Greenwood and R. A. Lokken, *Nucl. Phys.*, **A228**(1974), 365.
- [22] H. C. Wu and X. Q. Zhou, *Nucl. Phys.*, **A417**(1984), 67.

MICROSCOPIC ANALYSIS OF THE LOW-LYING EVEN PARITY BANDS IN ^{168}Er

HUANG HAIXIN WU CHONGSHI ZENG JINYAN

(Peking University)

ABSTRACT

Taking into account the pairing correlation plus the quadrupolequadrupole interaction, the intrinsic properties of the low-lying bands (even parity) and the related E2 transition probabilities in ^{168}Er were calculated in the frame of Bohr-Mottelson-Nilsson model. The agreement between the calculated and the observed results is satisfactory. Some difficulties encountered in the IBM prediction do not appear in the present calculation.